Основы измерений

переменной составляющей

колебаний среды

“Физического Вакуума”

измерителями серии

“ИГЭД-2хх”

Авшаров Е.М.

Москва, 2023г.

Тороидально-Кольцевой Вихревой Процесс в “Физическом Вакууме”

GED-1

- от протона, через кавитацию, … до галактик - результат взаимодействия

потоков под действием “Градиентов Давления среды Физического Вакуума”

http://www.course-as.ru/AEM_GE/AEM_GED.html#Astro-T

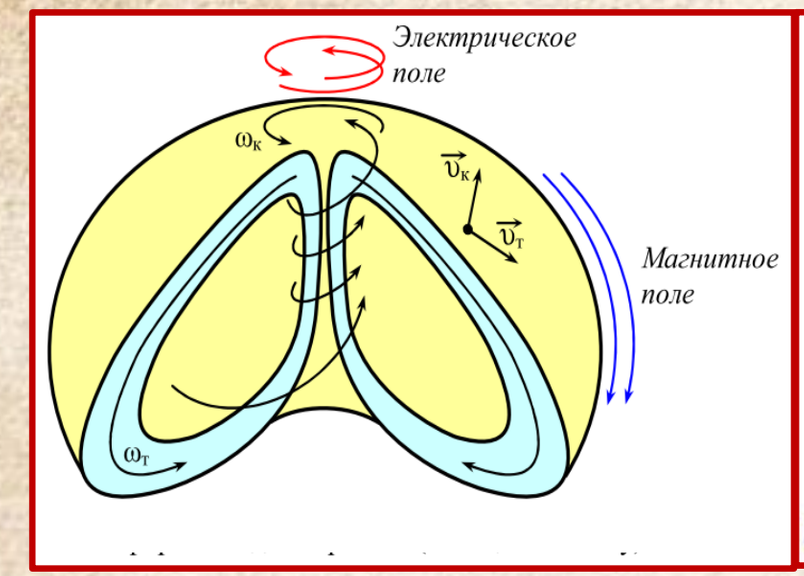

Тороидально-Кольцевая модель физ-вакуума расширена существенным вкладом прогоняемого через его центральную область потока, который представляет собой ***спин (джет)*** для всего диапазона масштабов :

У галактик и звезд <u>сдвоенный, зеркально отраженный, тороид вращения</u>.

Модель Тороидально-Кольцевого Вихря со Спином

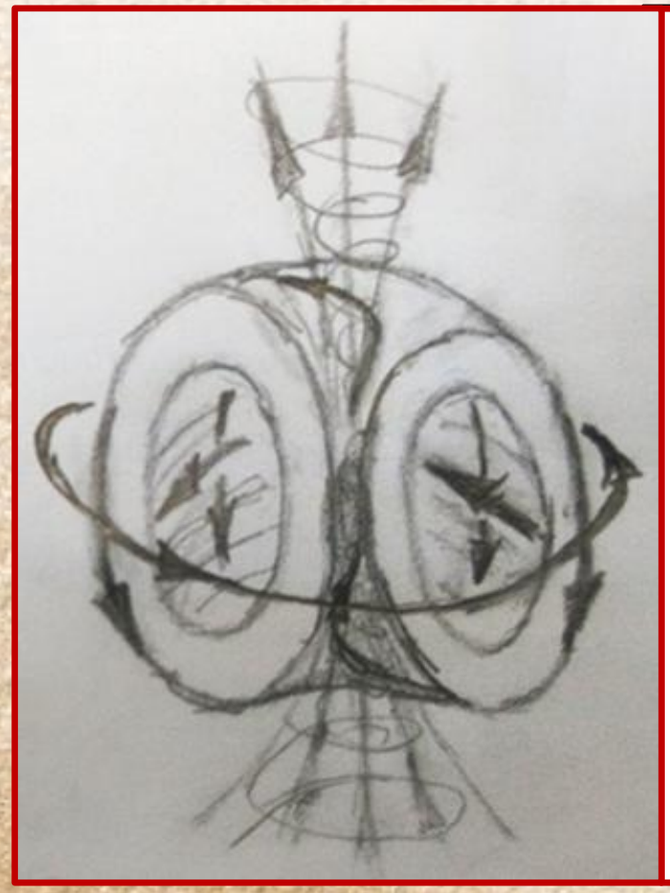

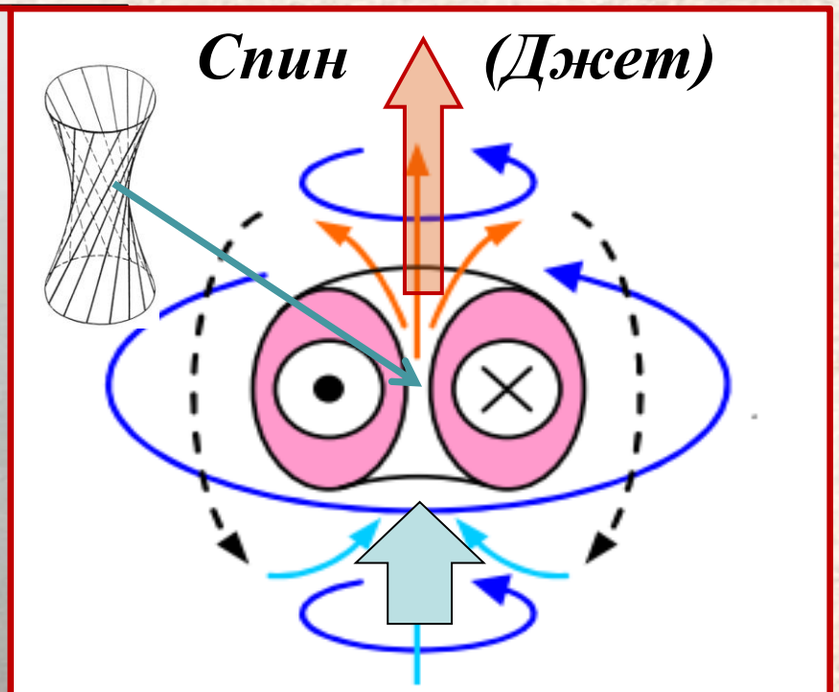

Динамическая схема протона, атома, … , кавитац.пузырька, торнадо, … , галактики

Базовые основы построения измерителей переменной составляющей *"Колебаний Давления Среды Физического Вакуума"*

GED-2

http://www.course-as.ru/AEM_GE/AEM_El-p1.pdf стр. 1-5.

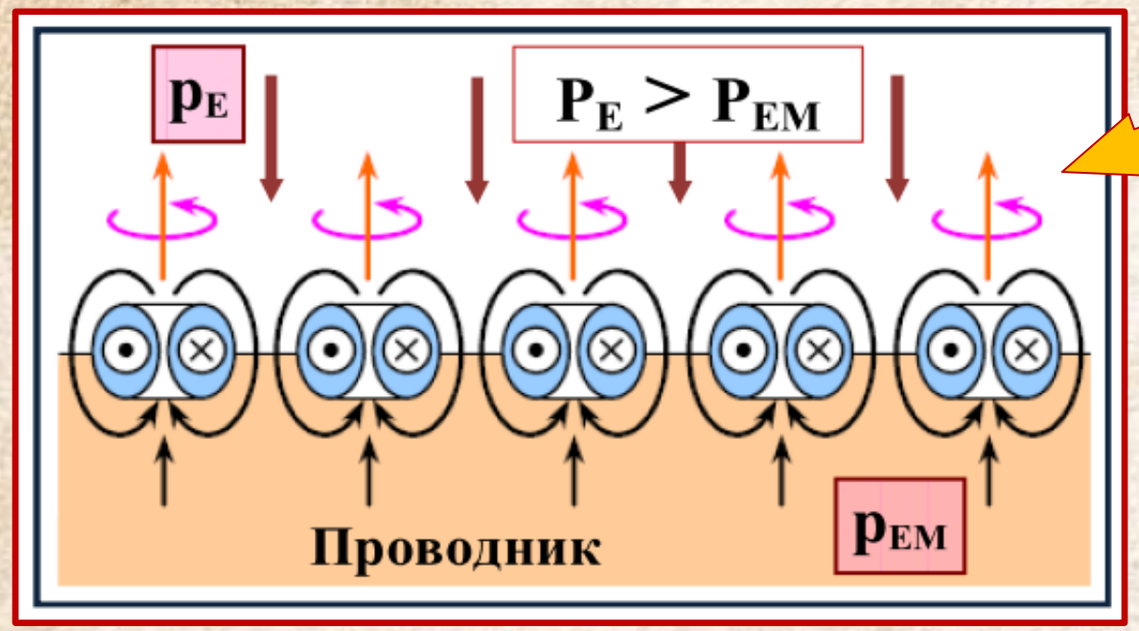

"Поверхность Ферми" проводника. Давление *физ-вакуумной среды* внутри проводника **значительно ниже** давления физ-вакуума за пределом этого проводника.

Конденсатор – компонент электроники с позиций физ-вакуумной энергетической среды, находящейся под внутренним давлением.

"Электрический ток" в проводнике есть градиентный поток среды физ-вакуума, текущего за счет разности внутреннего давления среды ***+/-ΔPE /2*** в проводнике, созданного на его концах внешним источником этого тока (потока).

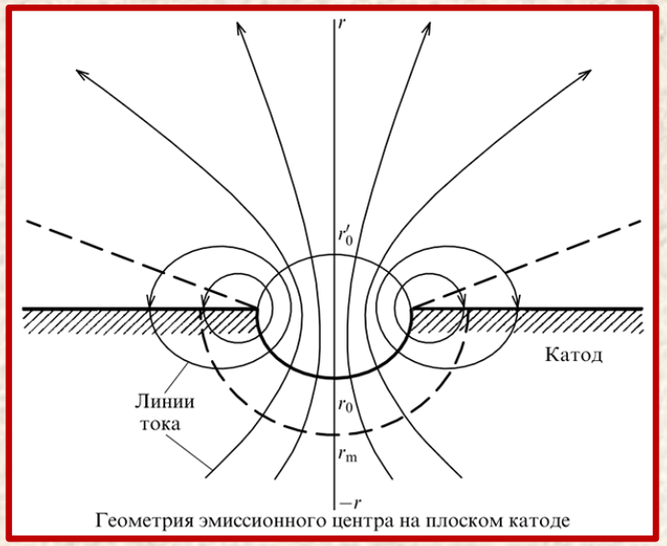

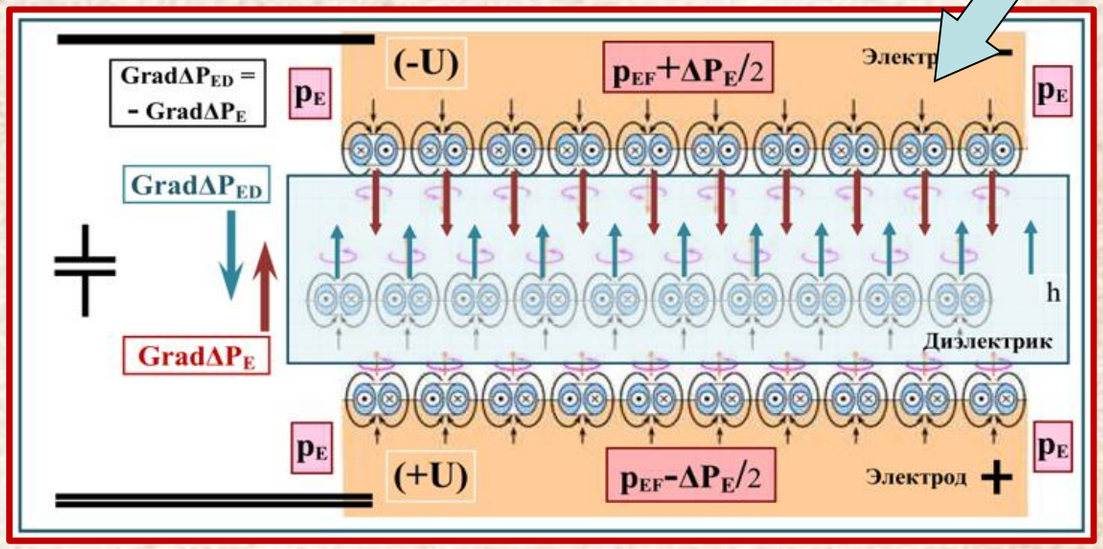

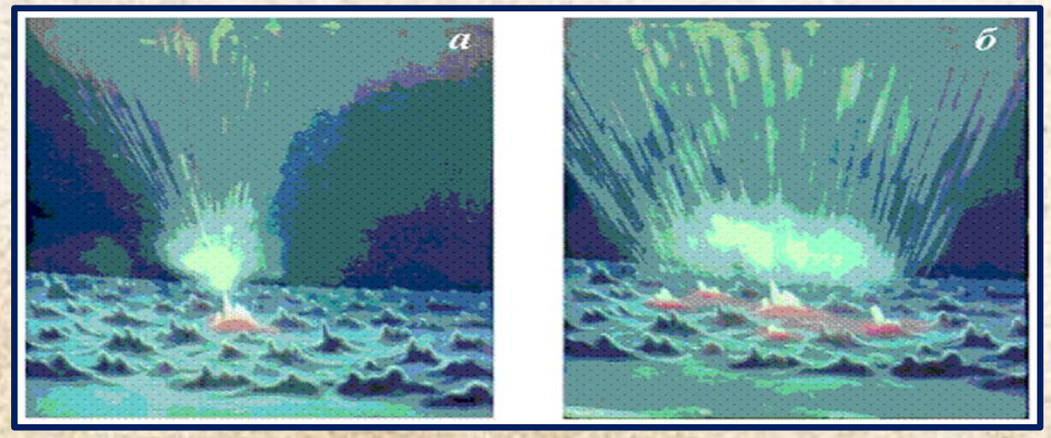

“Бифилярная катушка” – первый компонент детекторов измерений *колебаний давления среды физического вакуума в ”Измерителях серии ИГЭД-2хх”*

GED-3

Бифиляр “Купера”

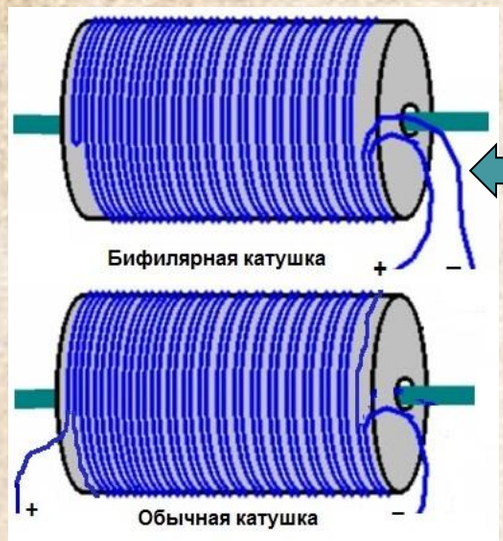

Цилиндр. катушка

Условное обозначение

бифилярных катушек

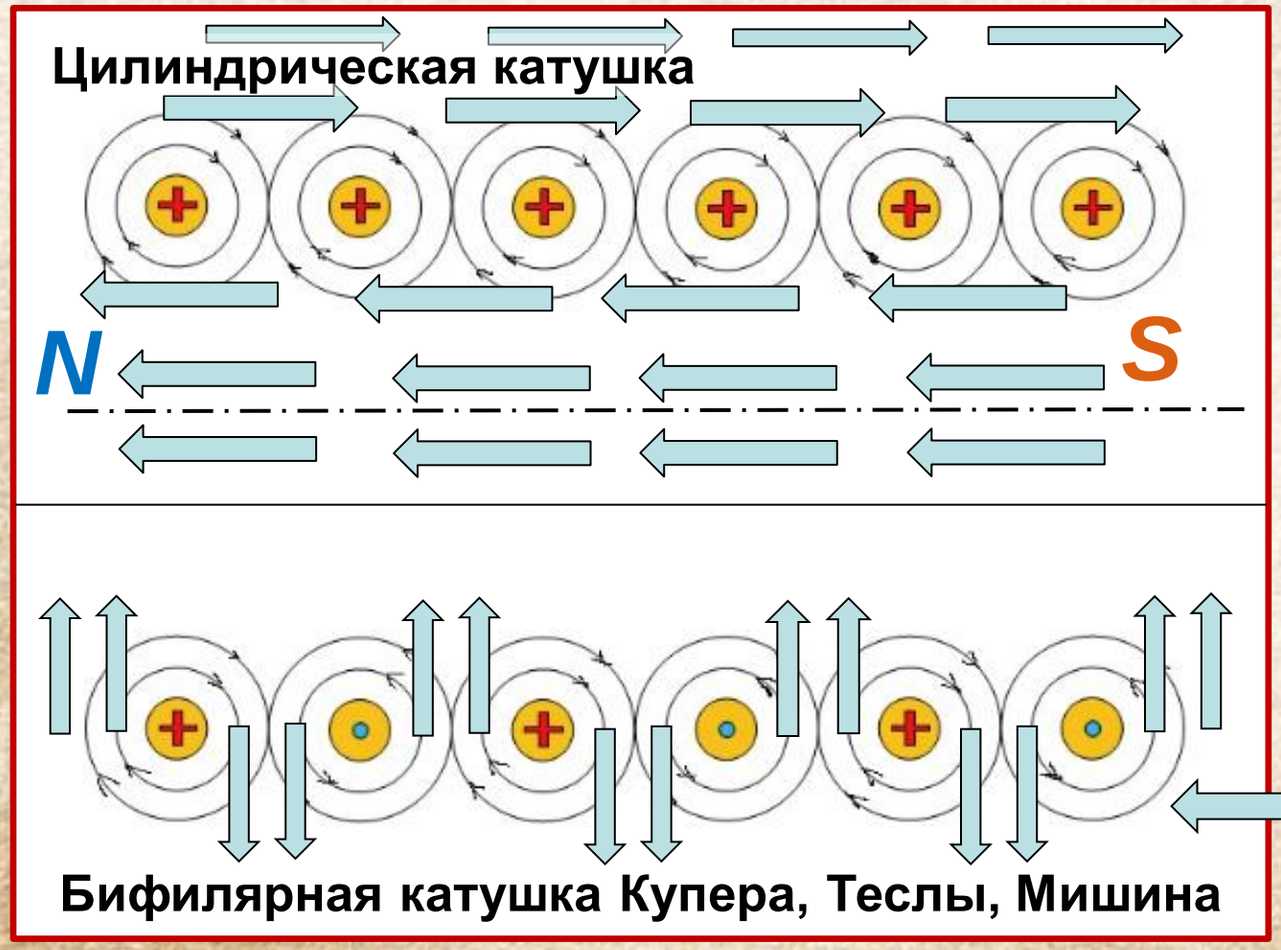

Переменный **“электрический ток”** в теле бифилярной катушки *не создает “электромагнитного излучения”*, *не возникают т.н. “магнитные полюса”*, характерные для обычной катушки - между соседними проводниками возникают разнонаправленные потоки физвакуумной среды, синхронно изменяющиеся вместе с направлением и амплитудой “электрического тока”.

Этим порождаются разно-размерные вихревые тороидальные образования, обладающие ***уникальной сверхпроникающей способностью***.

Спектральная характеристика не имеет ярко выраженной резонансной частоты, а растянута по всему спектру.

Индуктивность бифиляра L=0.

Приемная ***Бифилярная катушка*** *идеально* ***выделяет вихревые колебания среды физического вакуума***.

“Вилка Авраменко” – второй компонент детекторов измерений *колебаний давления среды физического вакуума в ”Измерителях серии ИГЭД-2хх”*

GED-4

http://www.course-as.ru/AEM_GE/AEM_El-p1.pdf стр. 7-11.

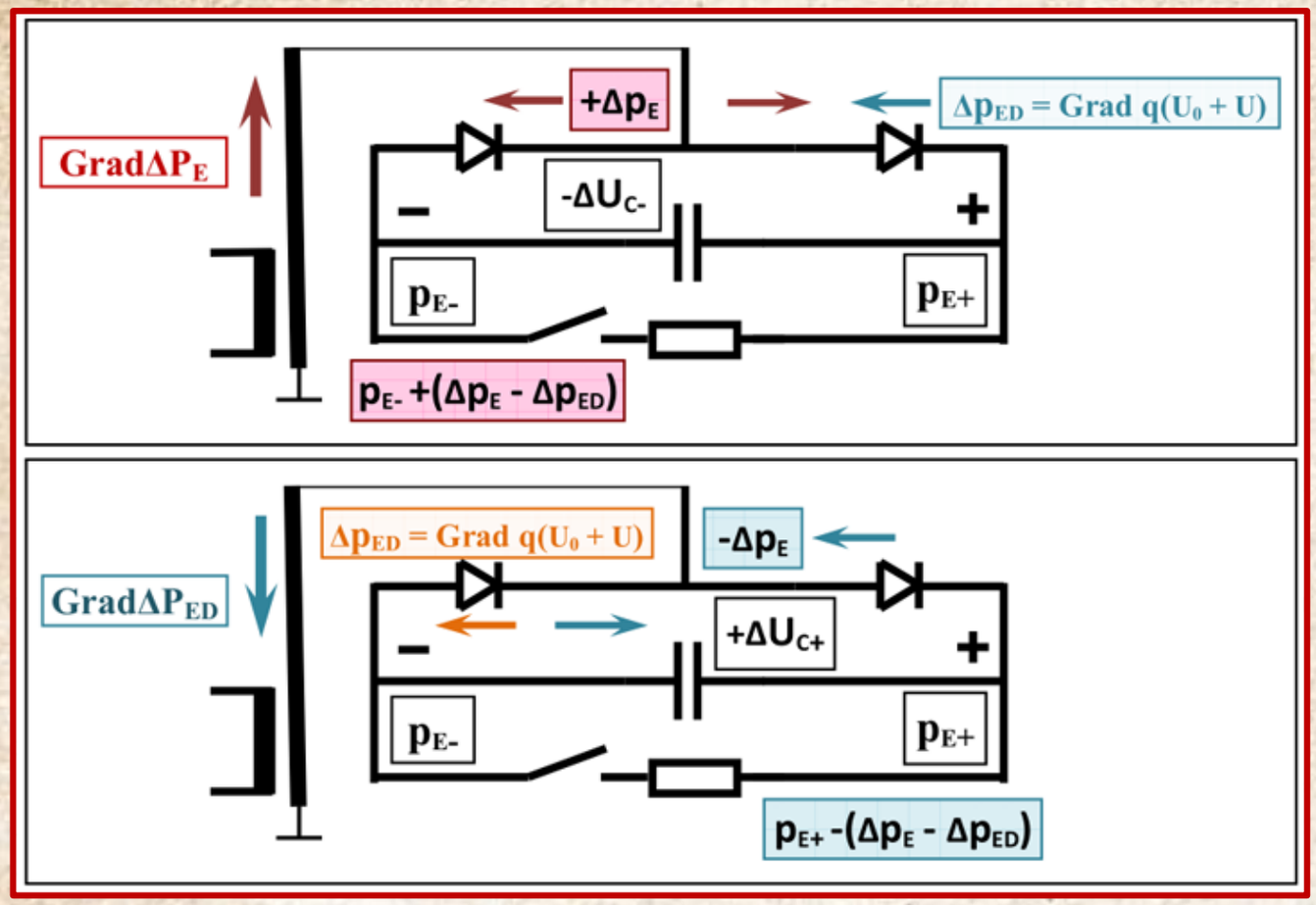

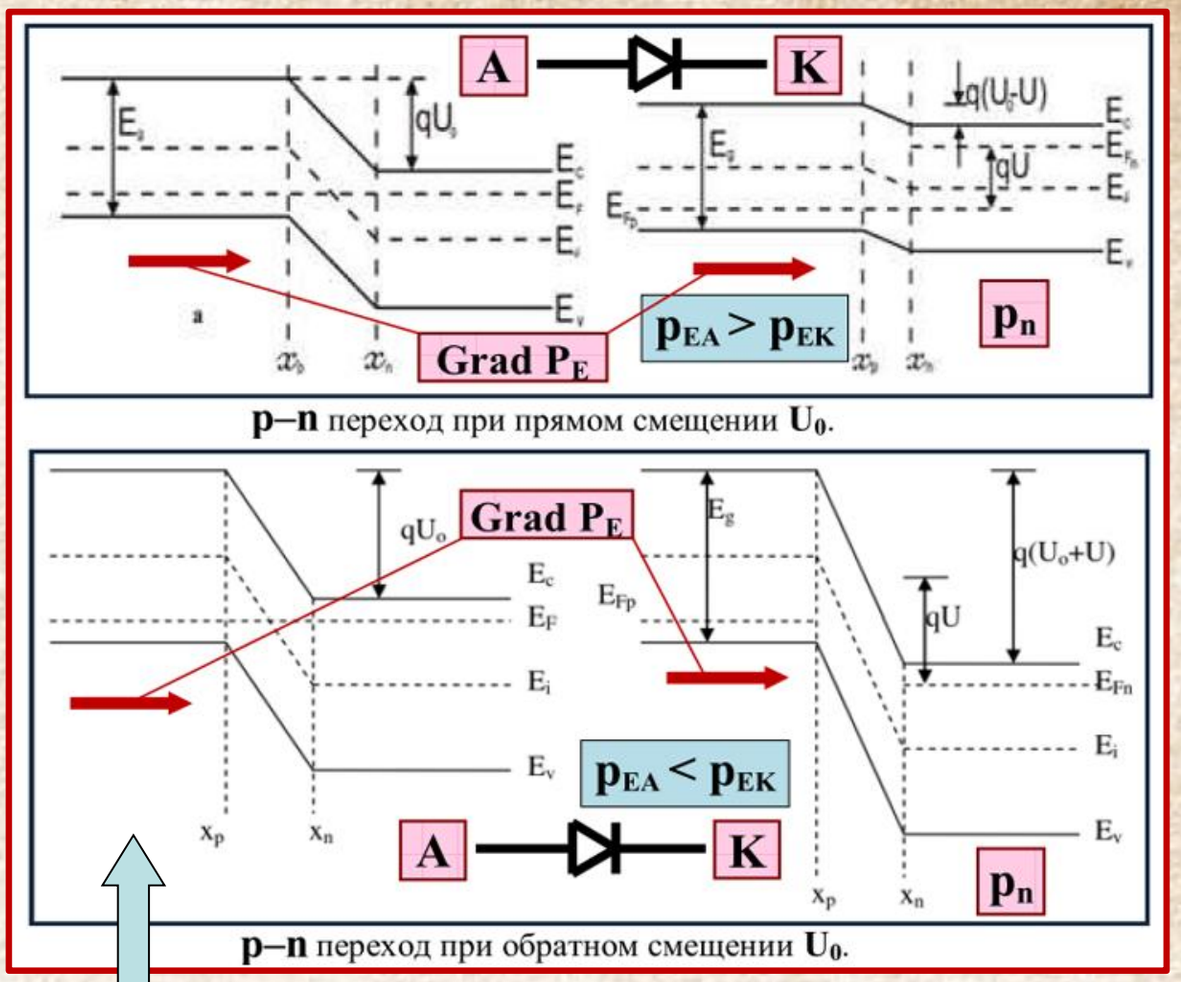

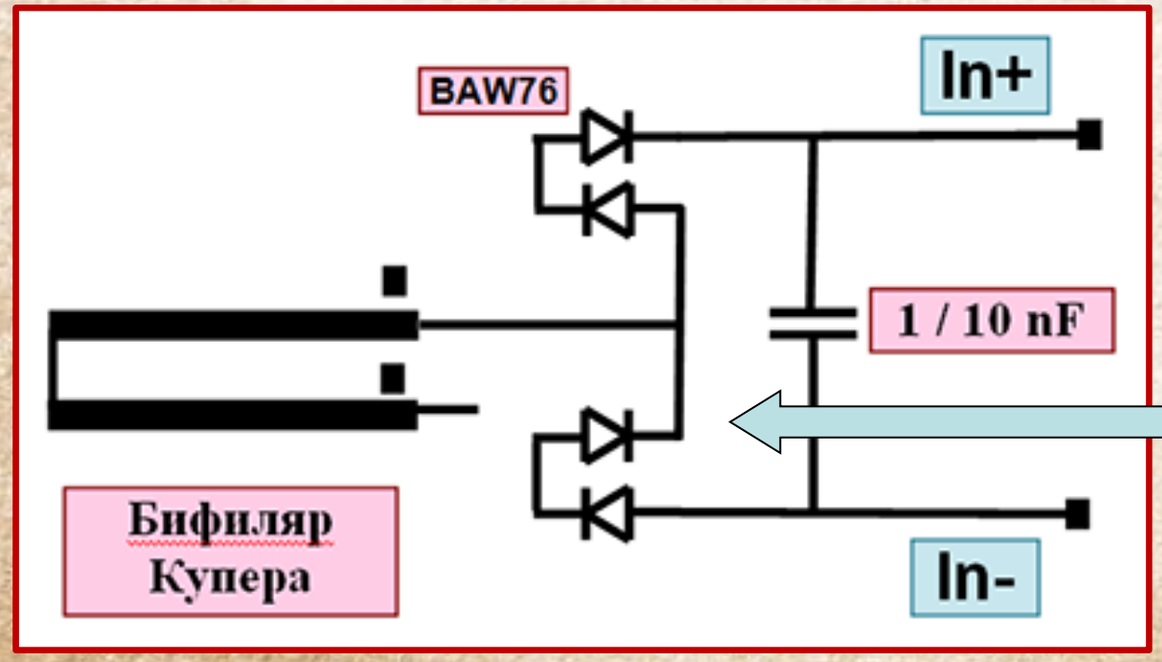

Распределение внутренних давлений физ-вакуумной среды в диоде при прямом и обратном включениях.

Бифиляр и “Вилка Авраменко” в “Измерителе Градиентов Давления Физ-Вакуумной среды ”ИГЭД-2хх”.

Измеритель Колебаний среды Физ-Вакуума – “ИГЭД-2гр”

GED-5

- измерение окружающей среды в <u>не возбужденном состоянии</u>.

<u>Одно из доказательств “не электромагнитных измерений” !!</u>

http://www.course-as.ru/AEM_GE/AEM_MGEP-RT(Pres).pdf

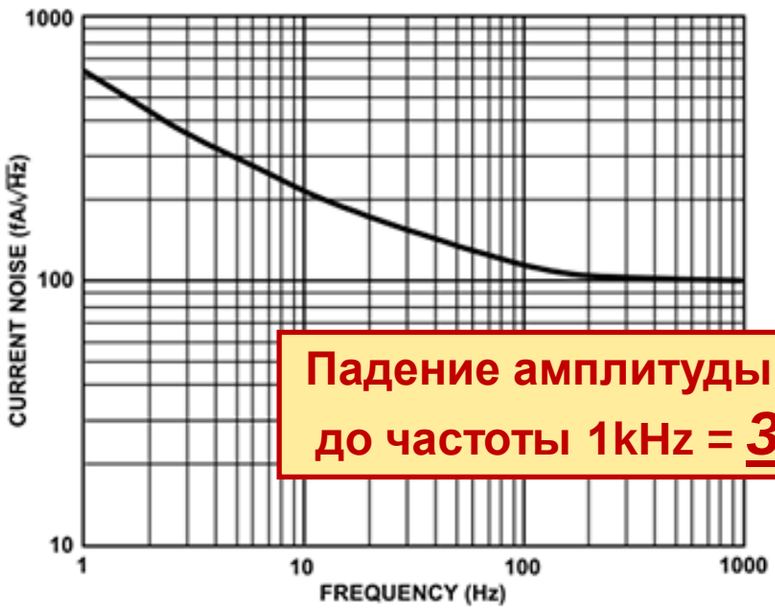

Figure 11. Current Noise Spectral Density vs. Frequency

Падение амплитуды шума от 5Hz до частоты 1kHz = *<u>3 порядка</u>*!

V_{pp} = 60mV
V_{aver} = 100mV
1/f = 200mS/div
f = 5Hz/div

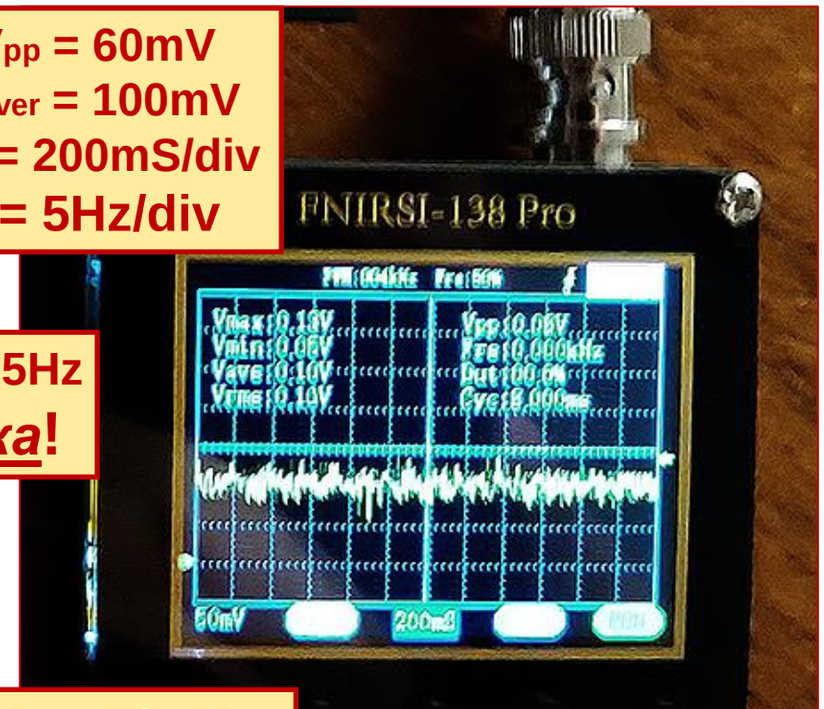

V_{pp} = 50mV
V_{aver} = 100mV
1/f = 200μS/div
f = 5kHz/div

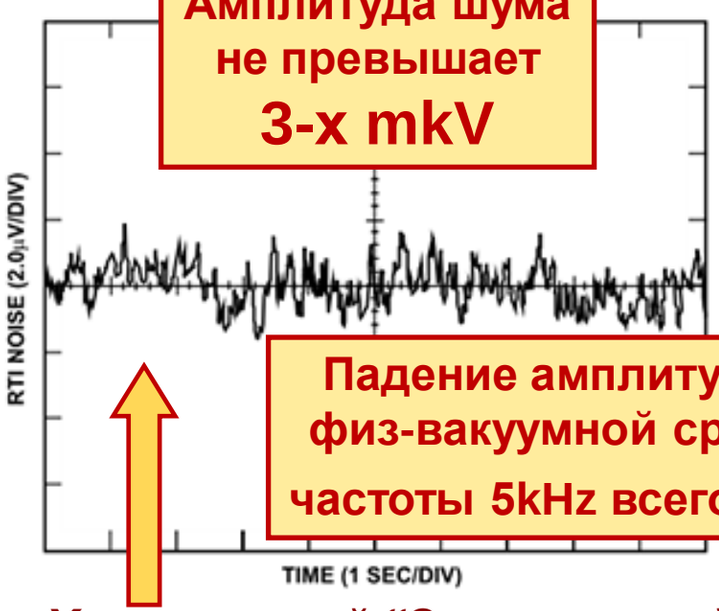

Амплитуда шума не превышает 3-х mkV

Падение амплитуды колебаний физ-вакуумной среды от 5Hz до частоты 5kHz всего в <u>1.2 раза</u>!!

Характерный “Электронный Шум” и “Шум среды Физического Вакуума”

V_{pp} = амплитуда колебаний физ-вакуумной среды
V_{aver} = средне интегральная составляющая колебаний физ-вакуумной среды
1/f = величина длительности, приходящееся на 1-у клетку
f = частота, приходящей-ся на 1-у клетку

Для визуализации переменной составляющей колебания давления физ-вакуумной среды применен осциллограф с автономным аккумуляторным питанием, обеспечивающий полную гальваническую развязку от внешнего воздействия - защита от ***<u>Эффекта Однопроводной Линии</u>***.

Измерение вокруг водной кавитационной тепловой установки “iWET“
Измерителем Колебаний Давления Физ-Вакуума – ИГЭД-2гр”
Одно из доказательств “не электромагнитных измерений” !!

GED-6

http://www.course-as.ru/AEM_GE/AEM_GED.html#MGEP-CAV

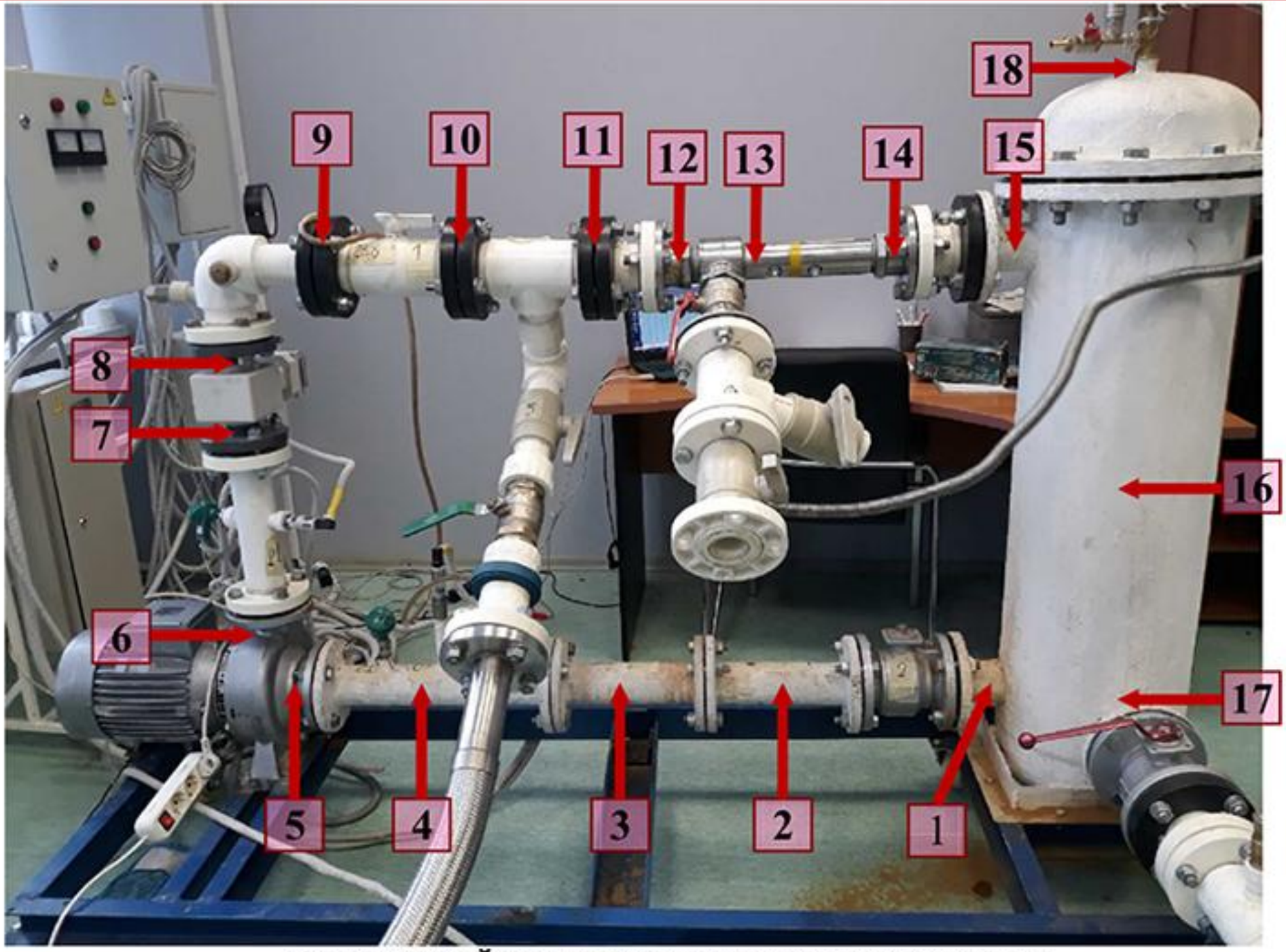

ФОТО УСТРОЙСТВА С УКАЗАНИЕМ ТОЧЕК ИЗМЕРЕНИЯ

Измерения проводились на расстоянии 45 мм от металлических стенок в 18-ти точках кавитационной установки **“iWET”,** давление после кавитатора 2.5 / 4.0 атм.

Выявлено:
превышение показаний в 2 - 4 раза
(по отношению к фону окружающей среде)
.

Протокол демонстрации

Измерителей Градиентов Эфирного Давления реального времени серии ИГЭД-2 и ИГЭД-2(гр) /с гальванической развязкой /

Демонстрация возможностей измерителей серии ИГЭД-2 проведена 06.04.2023г. в "Центре коллективного пользования РУДН"(ул. Миклухо-Маклая 8, кор 2) в пом. № _____

Представлены:

1. измерения градиентов переменного эфирного давления датчиком ИГЭД-2 над поверхностью воды в пластиковой рюмке:
   a. без воздействия на эфирную среду и воздействие человека,
   b. при расположении рюмки с живым соком лимона на расстоянии 5-6 см.,
   c. при расположении рюмки с водой на расстоянии 5-6 см. после воздействия на нее в/в разрядом.

2. Измерения дифференциальным датчиком переменных градиентов эфирного давления - ИГЭД-Д (био-исследования) - размещении воды в одну из пробирок.

3. измерения градиентов переменного эфирного давления датчиком ИГЭД-2 при дистанционном воздействии катушки Тесла (*Ф* 20мм х40) при работе на однопроводную линию с нагрузкой через промежуточную катушку Тесла на различных расстояниях – диапазон чувствительности более 6-7 порядков.

4. Параллельные измерения переменного эфирного давления датчиком ИГЭД-2(гр)

Демонстрация проведена разработчиком датчиков и измерителей, с теоретическим обоснованием работы ее компонентов - Авшаровым Евгением Михайловичем.

Описание измерителей представлено на сайте: "Градиентная Эфиродинамика /GED/"
(**http://www.course-as.ru/AEM_GE/AEM_GED.html**)

Страницы - **http://www.course-as.ru/AEM_GE/AEM_GED.html#MGEP-V** и
- **http://www.course-as.ru/AEM_GE/AEM_GED.html#MGEP-2**

Работоспособность измерителей подтверждена (ФИО, звание, комментарии, подпись):

ИГЭД-2 демонстрирует эффекты за пределами Стандартной модели классической электродинамики

И. Э. Булышенков, к.ф.-м.н., с.н.с. АН СССР по сле-
06.04.2023 дованию „Радиофизика, выполнял квантовую радио-
физику", разработчик микроволновых РАР,
руководитель ИИПВ им. А.П. Левича
профессор РУДН, ORCID ID: 0000-0003-3835-0973

Д.В. Рясник, к.б.н., в.н.с. каф. биофизики биологического
06.04.2023 факультета МГУ
ученый секретарь ИИПВ им. А.П. Левича

http://www.course-as.ru/AEM_GE/AEM_Protdemo-IGED.pdf

"Измеритель Колебаний Давления Физ-Вакуума серии ИГЭД-2хх" .

GED-7

Демонстрация возможностей

Представлены демонстрации измерений колебаний давления среды физ-вакуума:

1. Измерение датчиком **ИГЭД-2+** колебаний физ-вакуумной среды над поверхностью воды;

2. Измерение Дифференциальным датчиком - **ИГЭД-Д** био-исследований водных растворов;

3. Измерение датчиком ИГЭД-2+ при дистанционном воздействии малой катушки Тесла в однопроводной линии с промежуточной катушкой Тесла на разных расстояниях :

диапазон измерения более 7 порядков !

4. Измерение датчиком **ИГЭД-2гр** импульсного **оптического светодиодного излучателя**, без и с экранированием алюминиевой фольгой в 3-и слоя, с добавлением двухслойного фольгированного стеклотекстолита **1.54 мм** (толщина **Cu = 0.2 мм**), при этом величина излучения **уменьшалась менее чем в 2-а раза !**

Это еще одно доказательство измерения датчиками серии ИГЭД "не электромагнитных измерений"

Возможности измерений колебаний давления физ-вакуумной среды *Измерителями Колебаний среды Физ-Вакуума серии “ИГЭД”*.

GED-8

Что позволяет измерять серия “ИГЭД-2xx”:

1. ***Интегральные колебания давления физ-вакуумной среды визуализируются с точностью до 0.01% в реальном времени, постоянная времени равна 0.5 сек.;***
2. ***Колебания давления окружающей физ-вакуумной среды, регистрируемое в течении дня, более чем в 2 раза больше минимального колебания давления окружающей среды;***
3. ***Увеличение давления физ-вакуумной среды над поверхностью сосуда с водой или с водным раствором до 25-30% от величины колебаний давления окружающей физ-вакуумной среды – реакция на прохождение равновесной реакции Жаботинского-Белоусова с ассоциацией водных растворов в кластеры, и диссоциации обратно;***
4. ***Физ-вакуумную составляющую импульсного электромагнитного излучения, в том числе полностью экранированного, диапазон – более 7-ми десятичных порядков ! ;***
5. ***Физ-вакуумное импульсное светодиодное излучение, в том числе экранированное алюминиевой фольгой и / или светонепроницаемым экраном – измерения позволяют видеть наплыв кучевого облака на Солнце и обратно (разброс значений более 2-х раз);***
6. ***Величину и пространственное распределение “странных излучений” при разрядных процессах в материальных средах, при “ХТЯ” (“Холодной Трансмутации Ядер”);***
7. ***Измерение пространственного распределения “патологических излучений” при плазменном разряде в газообразной, жидкой и твердой материальной среде;***
8. ***Визуализация колебаний градиентов переменного давления физ-вакуумной среды стало возможно благодаря гальванической развязке измерительной части и визуализации на осциллографе с автономным питанием, вплоть до частоты 1Mhz, ограниченная частотной характеристикой электронных компонентов гальванической развязки.***